

水平力と軸力と曲げモーメントを受ける単杭の水平抵抗について

立命館大学理工学部 正員 西本 安範

1. まえがき 杭の水平抵抗に関しては、従来より、軸力が作用している場合でも、軸力の影響を考慮していない理論式で設計計算がなされているようであるが、この軸力は大きく作用する場合にはその影響を考慮する必要があるものと考えられる。著者は、すでに、こうした軸力と水平力を受ける単杭の水平抵抗について、複合地盤反力法^{1), 2), 3), 4), 5)}と同様な考え方にもとづいて誘導した弾塑性理論式と 2, 3 の計算結果を報告しているが、今回は、さらに、杭頭部に曲げモーメントが作用する場合を対象とした弾塑性理論式を誘導し、軸力の影響をみるために数値計算をおこなった。

2. 理論式の誘導 図-1 に示すごとく、地上に突出していない単杭が杭頭部に水平力 H 、軸力 N 、曲げモーメント M_0 を受ける場合、地盤反力の分布を図-2 に示すごとく、塑性域、弾性域において $bP_f x_1$, bky_2 として与え、軸力 N を杭周マサツカを無視して杭頭から杭

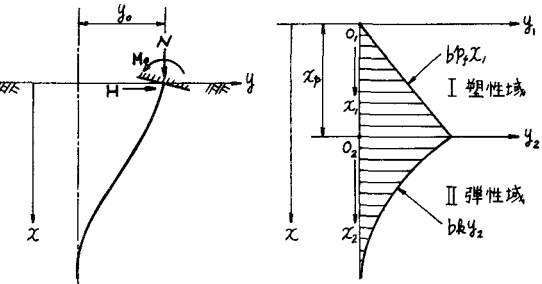


図-1 杭頭に水平力 H と軸力 N と曲げモーメント M_0 を受ける杭

先端まで一定であると考えると、両域において、塑性域 ($x \leq x_p$) における地盤反力を、 EI : 杭の曲げ剛性、 b : 杭の作用幅、 P_f : 降伏地盤反力係数、 λ : 横すべり地盤反力係数としてそれとすれば次式で示される。

$$\text{塑性域} (0 \leq x < x_p): EI \frac{d^4 y_1}{dx_1^4} + N \frac{d^2 y_1}{dx_1^2} + bP_f \lambda = 0 \quad (1), \quad \text{弾性域} (x \geq x_p): EI \frac{d^4 y_2}{dx_2^4} + N \frac{d^2 y_2}{dx_2^2} + bky_2 = 0 \quad (2)$$

杭が無限長の場合と対象として式(1), (2)の一般解を求めると次式の式(3), (4)が得られる。

$$y_1 = C_1 + C_2 x + C_3 \cos \alpha x + C_4 \sin \alpha x - \frac{bP_f \lambda x^3}{6N} \quad (3), \quad y_2 = e^{-\alpha x_2} (C_5 \cos \gamma x + C_6 \sin \gamma x) \quad (4)$$

式(3), (4)において、 $A = \sqrt{N/EI}$, $\alpha = \sqrt{\beta^2 - (N/4EI)}$, $\gamma = \sqrt{\beta^2 + (N/4EI)}$, $\beta = \sqrt{bk/4EI}$ で、 $C_1 \sim C_6$ は積分定数である。ここで 杭頭 ($x=0$) における境界条件と塑性域と弾性域の境界 ($x_1=x_p$, $x_2=0$) における接続条件を考えると次式が成立する。

$$\text{境界条件: } (y_1'') = -\frac{M_0}{EI}, \quad (y_1'') + \frac{N}{EI} (y_1') = \frac{H}{EI} \quad (5), \quad \text{接続条件: } (y_1) = (y_2), \quad (y_1') = (y_2'), \quad (y_1'') = (y_2''), \quad (y_1'''') = (y_2''') \quad (6)$$

式(5), (6)より積分定数 $C_1 \sim C_6$ を求めると次式の式(7)で示されるような結果となる。

$$\begin{aligned} C_1 &= Y_0 - \frac{1}{\Delta A} \left[\left\{ 2\alpha A^3 \bar{x} + \{4\beta^4 + (3\alpha^2 - \gamma^2)A^2\} \bar{x} \right\} Y_0' + \{A(3\alpha^2 - \gamma^2 + A^2) \bar{x} + 4\alpha\beta^2 \bar{x}\} Y_0'' + \{2\alpha A \bar{x} + (2\beta^2 - A^2) \bar{x}\} Y_0''' \right] \\ C_2 &= \frac{H}{N} + \frac{bP_f}{A^2 N}, \quad C_3 = \frac{M_0}{N}, \quad C_4 = \frac{2\beta^2}{\Delta A} (2\beta^2 Y_0' + 2\alpha Y_0'' + Y_0''') \\ C_5 &= -\frac{1}{\Delta} \left[A \left\{ 2\alpha A \bar{x} + (3\alpha^2 - \gamma^2) \bar{x} \right\} Y_0' + \{3\alpha^2 - \gamma^2 + A^2\} \bar{x} Y_0'' + (2\alpha \bar{x} - A \bar{x}) Y_0''' \right] \\ C_6 &= -\frac{1}{\Delta \gamma} \left[A \left\{ (\alpha^2 - \gamma^2) A \bar{x} + \alpha(\alpha^2 - 3\gamma^2) \bar{x} \right\} Y_0' + \alpha(\alpha^2 - 3\gamma^2 + A^2) \bar{x} Y_0'' + \{(\alpha^2 - \gamma^2) \bar{x} - \alpha A \bar{x}\} Y_0''' \right] \end{aligned} \quad (7)$$

式(7)において

$$\Delta = 2\beta^2 \left\{ (2\beta^2 - A^2) \bar{X} - 2\alpha A \bar{Z} \right\} \quad (\Delta = 0 : \text{座屈条件式}), \quad Y_0 = -\frac{M_0}{N} \bar{X} + \frac{bP_f}{6N} X_p^3 - \left(\frac{H}{N} + \frac{bP_f}{A^2 N} \right) X_p$$

$$Y'_0 = \frac{M_0}{N} A \bar{Z} + \frac{bP_f}{2N} X_p^2 - \left(\frac{H}{N} + \frac{bP_f}{A^2 N} \right), \quad Y''_0 = \frac{M_0}{N} A^2 \bar{X} + \frac{bP_f}{N} X_p, \quad Y'''_0 = -\frac{M_0}{N} A^3 \bar{Z} + \frac{bP_f}{N}, \quad \bar{X} = \cos A X_p, \quad \bar{Z} = \sin A X_p$$
(8)

また、地表面における杭の水平変位 y_0 は $y_0 = (y_1)_{x=0}$ の関係式より、塑性域の深さ X_p は、 $P_f X_p / k = (y_1)_{x=z_p}$ 、あるいは $P_f X_p / k = (y_2)_{x=0}$ の関係式よりそれそれ次式で与えられる。

$$y_0 = C_1 + C_3 \quad (?), \quad \frac{P_f}{k} X_p - C_5 = 0 \quad (10)$$

3. 計算結果とその考察

対象とした杭は、奥行幅が 1 cm、作用幅が 2 cm、弾性係数 E が 30,000 kg/cm² のさく模型杭であり、地盤定数としては弾塑性理論式については $P_f = 0.1 \text{ kg/cm}^2$ 、 $k = 10 \text{ kg/cm}^2$ の値を、弾性理論式について ⁽⁶⁾ $k = 10 \text{ kg/cm}^2$ の値をそれぞれ採用した。
図-3 塑性域の深さ X_p と ΔZ_p の計算結果

計算で

域
の
水
平
変
位
 y_0
は
軸
力
 N
(kg)

cm

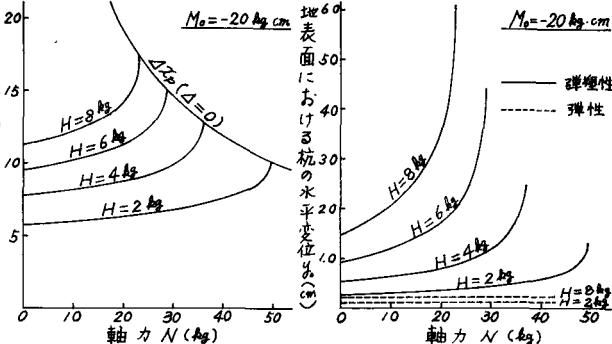


図-4 地表面における杭の水平変位 y_0 の計算結果

図-3, 図-4 は、杭頭曲げモーメント $M_0 = -20 \text{ kg}\cdot\text{cm}$ 、水平力 $H = 2, 4, 6, 8 \text{ kg}$ が作用した場合の塑性域の深さ X_p と地表面における杭の水平変位 y_0 の計算結果を示したものである。図-3 に示した X_p は軸力の増大とともに大きくなり、さらに軸力が増大して、式(8)の Δ を $\Delta = 0$ と置いた座屈条件式により求めた塑性域の深さ X_p と ΔZ_p の計算結果

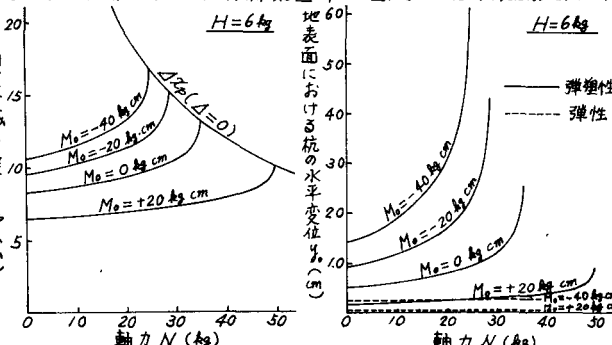


図-5 塑性域の深さ X_p と ΔZ_p の計算結果

図-6 地表面における杭の水平変位 y_0 の計算結果

域の深さ ΔZ_p の曲線に近づくにつれて、その増加量が著しく大きくなる結果を与える。また、水平力の増大とともに軸力の影響が大きくなるのが同図より認められる。図-4 に示した y_0 は、図-3 の X_p の計算結果と対応して、軸力の増大とともにその増加の度合が大きくなり、軸力が座屈荷重に近づくにつれて無限大となる結果を与える。また、図-5、図-6 は、水平力 $H = 6 \text{ kg}$ 、杭頭曲げモーメント $M_0 = -40, -20, 0, +20 \text{ kg}\cdot\text{cm}$ が作用した場合の y_0 と X_p の計算結果を示したものであるが、杭頭部の拘束条件によって軸力の影響がかなり異なるのが認められる。また、図-4、図-6 に示した y_0 の弾塑性理論式の計算結果と弾性理論式の計算結果を比較すると、水平力と水平力と同方向に作用する杭頭曲げモーメントの増大とともに、両理論式の計算結果の差が拡大するのが認められる。

参考文献 1) 鋼構造研究委員会：鋼構造土質工学会、PP 63～66

2) 西本安範：軸力を受ける単杭の水平抵抗に関する研究、第26回土木学会年次学術講演会講演概要集、昭. 46. 10

3) 西本安範：軸力と水平力を受ける単杭の水平抵抗に関する研究、立命館大学理工学研究所紀要、第21号、昭. 47. 1

4) 西本安範：軸力を受ける単杭の水平抵抗について、第7回土質工学研究発表会講演集、昭. 47. 6

5) 西本安範：軸力を受ける単杭の水平抵抗に関する研究、第27回土木学会年次学術講演会講演概要集、昭. 47. 10

6) 勝見雅、西本安範：杭の水平抵抗に関する考察、立命館大学理工学研究所紀要、第17号、昭. 43. 12